

مجله بلورشناسی و کانی شناسی ایران
سال سی و سوم، شماره اول، بهار ۱۴۰۴، از صفحه ۱۲۵ تا ۱۵۲

بررسی سنگنگاری و شیمی کانی‌های سنگ‌های گابرویی منطقه‌ی جوزم - شهریابک در استان کرمان، ایران

شیدا اکملی^{*}، عباس مرادیان^۱، حمید احمدی پور^۱، ماسیمو تیپولو^۲

۱- بخش زمین‌شناسی، دانشگاه شهید باهنر کرمان، ایران

۲- بخش علوم زمین، دانشگاه یونیمی میلان، ایتالیا

(دریافت مقاله: ۱۴۰۳/۴/۲۳، نسخه نهایی: ۱۴۰۳/۷/۱)

چکیده: منطقه‌ی مورد بررسی، در ۴۵ کیلومتری شمال‌غرب شهریابک و در جنوب‌شرقی کمربند آتشفشارانی ارومیه - دختر قرار دارد و جزئی از ایران مرکزی است. در توده‌ی نفوذی گابرویی این منطقه، پگماتیت گابرو دیده می‌شود که گویای خاستگاه عمیق آن‌هاست. در پلازیوکلازها و پیروکسن‌ها، بافت‌های عدم تعادل چون برونبوم (آنکلاو)، بافت‌های غربالی و منطقه‌بندی دیده می‌شوند. پلازیوکلازها از نوع آندزین تا بایتونیت هستند. پیروکسن‌ها که از نوع کلینوپیروکسن (دیوپسید) هستند، در گستره آذرین (نیمه قلیایی (ساب آلکالن) - تولثیتی) قرار دارند. همچنین، این کانی‌ها، از نوع کوهزایی و کمان آتشفشارانی هستند. دمای تشکیل کانی‌های پلازیوکلاز حدود ۵۵۰ تا ۸۵۰ درجه‌ی سانتی‌گراد و دمای شکل‌گیری کانی‌های کلینوپیروکسن حدود ۱۱۸۰ تا ۱۲۲۰ درجه‌ی سانتی‌گراد است. مقدار فشار در حین تبلور کانی‌های کلینوپیروکسن، در حدود ۶ تا ۱۰ کیلوبار است. در محیط تشکیل کانی‌های پیروکسن، فوگاسیته اکسیژن زیاد و مقدار آب ماقما در حین تبلور ماقما ۱۰ درصد می‌باشد. الیوین‌ها، از نوع هیالوسیدریت و غنی از منیزیم هستند.

واژه‌های کلیدی: گابرو؛ پگماتیت گابرو؛ شیمی کانی‌ها؛ جوزم؛ شهریابک؛ کرمان.

ماگمایی است که از برخورد لیتوسفر اقیانوسی نئوتیس به زیر صفحه‌ی ایران مرکزی ایجاد شده است [۷-۴]. قدیمی‌ترین سنگ‌های ماگمایی کمربند ارومیه - دختر سنگ‌های نفوذی آهکی قلیایی هستند که روی سازندۀ‌ی ژوراسیک پسین قرار دارند و به طور نامتجانس با سنگ‌های آهک فسیلی کرتاسه‌ی پیشین پوشانده شده‌اند. سنگ‌های آتشفشاری و نفوذی مافیک تا حد واسط با ماهیت آهکی قلیایی تا شوشوئیتی کمان ماگمایی ارومیه - دختر وابسته به ائوسن هستند [۱، ۲، ۵، ۱۴-۱۸]. جوان‌ترین سنگ‌های این کمربند، بیشتر از جریان‌های گدازه‌ای آذرآواری‌هایی وابسته به

مقدمه

منطقه‌ی مورد بررسی، با طول‌های جغرافیایی ۳۰°، ۳۷°، ۴۱° تا ۵۵° و عرض‌های جغرافیایی ۳۰°، ۳۷°، ۴۱° تا ۵۵° در جنوب‌شرقی کمربند ماگمایی ارومیه - دختر، شمال‌غرب نوار دهچ - ساردوئیه و در شهر بابک قرار دارد. کمربند ماگمایی ارومیه - دختر، یک کمان ماگمایی مربوط به فرورانش است که از سنگ‌های درونی و بیرونی با ماهیت تولثیتی، آهکی قلیایی (کالک آلکالن) و قلیایی غنی از پاتاسیم بوده که بین پهنه‌های سنندج - سیرجان و ایران مرکزی واقع است [۳-۱]. همچنین، فرض می‌شود که کمربند ماگمایی ارومیه - دختر یک کمان

*نویسنده مسئول، تلفن: ۰۹۱۱۸۰۸۵۲۷۴، پست الکترونیکی: Sheidaakmali65@gmail.com

Copyright © 2025 The author(s). This work is licensed under a Creative Commons Attribution-NonCommercial 4.0 International License (<https://creativecommons.org/licenses/by-nc/4.0/>) Non-commercial uses of the work are permitted, provided the original work is properly cited

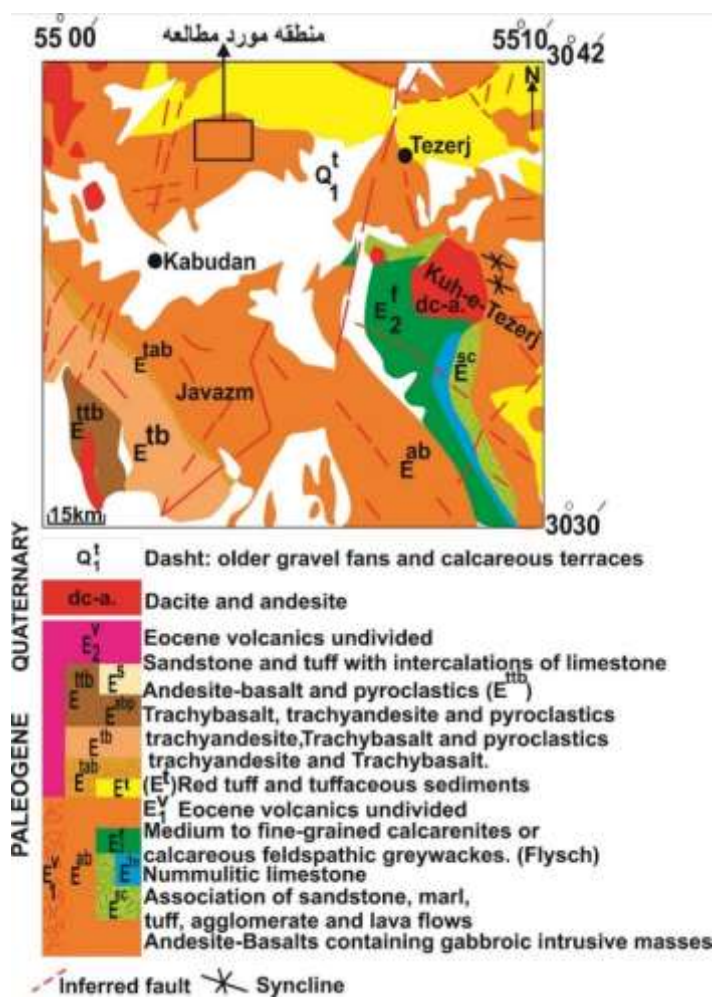


قاره‌ای قرار دارند. دورانی و مرادیان [۳۱] با بررسی زمین-شیمیایی و زمین‌ساختی ماقمایی تودهای گابرویی جنوب‌غرب شهرستان شهربابک در استان کرمان پی برند که سری ماقمایی گابروهای منطقه، نیمه‌قلیایی (تولئیتی) بوده و ماقمای تولئیتی از یک پریدوتیت گوشه‌ی بالایی ایجاد گردیده است. جایگاه منطقه‌ی مورد بررسی جوزم، در تقسیم‌بندی پهنه‌های ایران [۳۲] در شکل ۱ و در نقشه‌ی زمین‌شناسی ۱:۲۵۰۰۰۰ انار به‌دست‌آمده از سازمان زمین‌شناسی کشور [۳۳] در شکل ۲ نشان داده شده است. در این پژوهش، با بررسی‌های صحرایی و سنگنگاری، ویژگی‌های کانی‌شناسی، سنگ‌شناسی و بافتی سنگ‌های منطقه‌ی جوزم تعیین شده است. همچنین با بررسی شیمی کانی‌های پلاژیوکلاز، پیروکسن و الیوین نمونه‌های این منطقه، به روش آنالیز ریزپردازش الکترونی و زمین دما‌فشارسنجی، شرایط ترمودینامیکی هنگام انجام ماقماها و محیط زمین-ساختی ماقمایی نمونه‌ها تعیین گردیده‌اند.

پلیوسن تا کواترنری مناطق آتش‌شانی با ترکیب آدکیت، قلیایی و آهکی قلیایی ایجاد شده‌اند [۲، ۵، ۱۵-۲۰]. همه این سامانه مربوط به فروزانش نئوتیس است [۲، ۲۱]. برخی پژوهشگران به این نتیجه رسیده‌اند که جوانترین سنگ‌ها در کمریند ماقمایی ارومیه - دختر در پایان فروزانش تشکیل شده‌اند [۲، ۲۲-۲۵]. گزارش‌هایی پیرامون کمریند ماقمایی ارومیه - دختر، نوار دهچ - ساردوئیه و شهر بابک - جوزم وجود دارند. باور برخی پژوهشگران [۲۶، ۲۷]، بیشتر سنگ‌های کمریند ماقمایی ارومیه - دختر در سری قلیایی و آهکی قلیایی و مربوط به فروزانش هستند. همچنین مرادیان [۲۸] بر این باور است که خاستگاه سنگ‌های فلدسپاتوئیددار کمریند ماقمایی ارومیه - دختر در ارتباط با فروزانش است. قربانی و همکاران [۲۹] با بررسی فعالیت ماقمایی ترسیر-کواترنر در منطقه‌ی دهچ و قاسمی و مرادیان [۳۰] با بررسی سنگ‌های ناحیه‌ی شهربابک - جوزم به این نتیجه رسیدند که نمونه‌های آن مناطق، از سری ماقمایی آهکی قلیایی در ارتباط با فروزانش هستند و همچنین، این سنگ‌ها در کرانه‌ی فعال



شکل ۱ جایگاه منطقه‌ی مورد بررسی جوزم در تقسیم‌بندی پهنه‌های ایران [۳۲].



شکل ۲ جایگاه منطقه‌ی جوزم در نقشه‌ی زمین‌شناسی ۱:۲۵۰۰۰۰ اثار بدست‌آمده از سازمان زمین‌شناسی کشور [۳۳].

همچنین، مرادیان [۲۸] با بررسی ایزوتوپی بیوتیت‌ها و هورنبلندهای این زبانه‌ها و با سن‌سنجی K-Ar برای سنگ‌های نرکوه جوزم، سن تقریبی ۶۵ میلیون سال و برای سنگ‌های کوه تزرج، سن 16.4 ± 1 میلیون سال را بدست آورده است که دلیل دیگری بر جوان‌بودن توده‌ی گابرویی است. در توده‌ی نفوذی گابرویی این منطقه، پگماتیت‌گابرو وجود دارد (شکل ۳). این سنگ‌ها سطح تازه شکسته شده‌ی خاکستری روشند. در پگماتیت گابروها، بلورها می‌توانند به اندازه‌های ۱ تا ۵ سانتی‌متر یا حتی بزرگ‌تر تا اندازه‌ی ۳ تا ۴ متر رشد کنند و ویژگی‌های آنها وابسته به شرایط تبلور و ترکیب ماقمای مادر است و از شواهد تأیید کننده خاستگاه عمیق گابروها هستند [۳۴]. از پدیده‌های دیگر قابل مشاهده در این سنگ‌ها، فرسایش پوست‌پیازی (شکل ۳ ث) است. همچنین، در گابروها درز و شکاف‌هایی وجود دارد و کانی ثانویه‌ی کلسیت در آن‌ها، نفوذ کرده است (شکل ۳ ج).

محیط زمین‌شناسی

در منطقه‌ی مورد بررسی جوزم، توده‌ی گابروی (شکل ۳ الف) به زیر آتشفشاری‌های آئوسن بیرون‌زدگی دارد (شکل ۳ ب). بر اساس بررسی‌های صحرایی، رخنمون این توده‌ی نفوذی گابروی نقطه‌ای و تقریباً بیضی‌شکل است و گابروی دیگری در منطقه‌ی مورد مطالعه دیده نمی‌شود. گابروهای این منطقه نسبتاً سالم و دارای هوازدگی کم هستند. این سنگ‌ها، برونبوم‌های تا کمی دانه‌درشت هستند و در این سنگ‌ها، برونبوم‌ها گویای داسیتی دیده می‌شود (شکل ۳ ب). وجود برونبوم‌ها گویای جوان‌بودن توده‌ی گابروی نسبت به پلاگ‌های داسیتی این منطقه است. توده‌ی نفوذی منطقه به زمان پس از فرورانش اقیانوس نشوتیس به زیر ایران مرکزی مربوط بوده و بهعلت نفوذ به زیر سنگ‌های آتشفشاری‌های آئوسن و دارابودن برونبوم‌هایی از زبانه‌های داسیتی چون کوه تزرج و تیرکوه، از دیگر گروه‌های سنگی موجود در منطقه جوان‌تر است [۳۰].



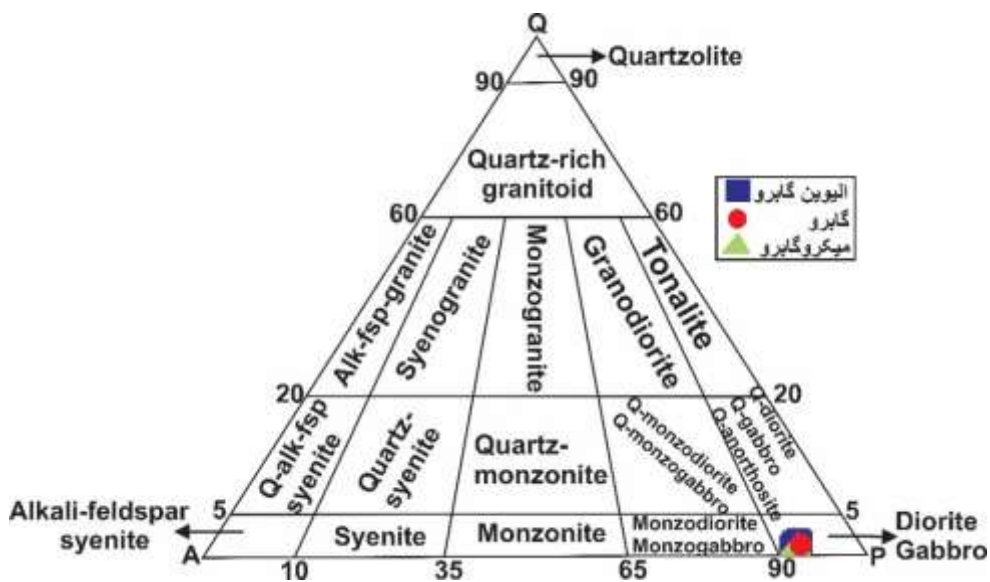
شکل ۳ الف) رخنمون کلی توده‌ی نفوذی منطقه‌ی مورد بررسی، ب) محل تماس گابرو با سنگ‌های آتشفسانی، پ- نمونه‌هایی از برونوهم‌های داسیتی در گابروها، ت) پگماتیت‌گابرو، ه) فرسایش پوست‌پیازی در گابروها، ج) وجود رگه‌های کلسیتی در گابروها.

اکسل، ...، Corel draw، Igpet، Minpet، آنالیزهای ژئوشیمیایی انجام و نتایج بررسی گردید.

سنگ‌نگاری

با تعیین درصد حجمی کانی‌ها، می‌توان نام دقیق نمونه‌های منطقه‌ی مورد بررسی را مشخص کرد و برای نام‌گذاری سنگ‌ها از رده‌بندی بر اساس QAP [۳۵] (شکل ۴) استفاده کرد. بر پایه‌ی بررسی‌های سنگ‌نگاری، توده‌های نفوذی این منطقه شامل الیوین‌گابرو، گابرو و میکرو‌گابرو هستند.

روش کار پس از پیمایش‌های صحرایی در منطقه جوزم، از برخی نمونه‌های تازه‌تر، مقاطع نازک و صیقلی تهیه شد و بررسی‌های سنگ نگاری با میکروسکوپ قطبشی در دانشگاه شهید باهنر کرمان انجام شد. مراحل بعدی آزمایش‌های شیمی کانی‌ها در دانشگاه یونیمی میلان در کشور ایتالیا با آنالیز ریزپردازشی الکترونی انجام گردید. تجزیه و تحلیل شیمیایی کانی‌ها در ولتاژ شتابدهنده‌ی 15 kV و با جریان پرتو 5 nA انجام شد و سپس، با نرم‌افزارهای گرافیکی و تخصصی (از جمله



شکل ۴ تقسیم‌بندی نمونه‌های منطقه‌ی مورد بررسی در نمودار QAP [۳۵].

۳ میلی‌متر، به صورت شکلدار تا بی‌شکل، با ماکل ساده و دوتایی و زاویه‌ی خاموشی ۳۰ تا ۴۵ درجه در سنگ وجود دارند. در برخی بخش‌های این سنگ‌ها، کانی‌های پیروکسن منطقه‌بندی نشان می‌دهند. الیوین‌ها، به صورت نیمه شکلدار تا بی‌شکل در اندازه‌ی تقریبی ۰/۵ تا ۱/۵ میلی‌متر هستند.

میکروگابروها: این سنگ‌ها، دارای کانی‌های پلاژیوکلاز (۵۲٪)، فلدسپارقلیایی (۳٪)، پیروکسن (۱۵٪)، الیوین (۱۰٪)، کانی کدر (۱۰٪)، بیوتیت (۵٪)، آپاتیت (۰٪/۵)، اپیدوت (۸٪)، کلریت (۰٪/۵) و کلسیت (۰٪/۵) هستند. در کانی‌های پلاژیوکلاز و پیروکسن این سنگ‌ها، منطقه‌بندی دیده می‌شود (شکل ۵ ت). همچنین در این سنگ‌ها، بافت اصلی پورفیری (شکل ۵ ت) و بافت فرعی غربالی در پلاژیوکلازها (شکل ۵ ث) و پیروکسن‌ها دیده می‌گردد. در میکروگابروها این منطقه، پلاژیوکلازها به صورت ریزسنگ‌هایی ریزدانه در اندازه‌های ۰/۱ تا ۱/۵ میلی‌متر و با زاویه‌ی خاموشی ۳۰ تا ۳۸ درجه هستند.

فلدسپارهای قلیایی در اندازه‌ی تقریبی ۰/۵ تا ۱/۵ میلی‌متر دیده می‌شوند. پیروکسن‌ها به صورت شکلدار تا بی‌شکل و با ماکل ساده و دوتایی (شکل ۵ ج) در اندازه‌ای حدود ۰/۵ تا ۲ میلی‌متر و زاویه‌ی خاموشی ۳۰ تا ۴۶ درجه وجود دارند. در برخی بخش‌های این سنگ‌ها در کانی‌های پیروکسن، منطقه‌بندی دیده می‌شود. الیوین‌ها، به صورت شکلدار تا بی‌شکل در اندازه‌ای حدود ۰/۵ تا ۲ میلی‌متر هستند.

الیوین گابروها: این سنگ‌ها، دارای کانی‌های پلازیوکلاز (54%)، فلدسپارقلیایی (3%)، الیوین (15%)، پیروکسن (10%)، کانی کدر (8%)، بیوتیت (8%)، آپاتیت (5%)، کلریت (1%) و کلسیت (0.5%) هستند. بافت غالب این سنگ‌ها دانه‌ای است و بافت‌های فرعی غربالی، خال خال و برونیوم (اتصال کانی‌ها به هم) نیز دیده می‌شود (شکل ۵ الف). در این سنگ‌ها، پلازیوکلازها به صورت درشت بلورهای کشیده با اندازه‌ای حدود 0.5 تا 3 میلی‌متر و با زاویه‌ی خاموشی 30 تا 35 درجه هستند. فلدسپارهای قلیایی در اندازه‌ی تقریبی 0.5 تا 1.5 میلی‌متر وجود دارند. الیوین‌ها، نیمه شکلدار تا بیشکل و با اندازه‌ای حدود 0.5 تا 2.5 میلی‌متر هستند. پیروکسن‌ها در اندازه‌ی 0.5 تا 3 میلی‌متر، به صورت نیمه شکلدار تا بی‌شکل، با ماکل ساده و دوتایی و زاویه‌ی خاموشی 30 تا 40 درجه هستند.

گابروها: این سنگ‌ها، دارای کانی‌های پلازیوکلاز (60% ، فلدسپارقلیایی (3%)، پیروکسن (15%)، الیوین (10%)، کانی کدر (8%)، بیوتیت (3%)، آپاتیت (5%)، کلریت (1%) و کلسیت (5%) هستند. در این سنگ‌ها، بافت غالب دانه‌ای و بافت فرعی غربالی، بین دانه‌ای (شکل ۵ ب) و پوست ماری (شکل ۵ پ) دیده می‌گردد. در این نمونه‌ها، پلازیوکلازها با زاویه‌ی خاموشی 30 تا 35 درجه هستند و اندازه‌ای حدود $5/5$ تا $3/5$ میلی‌متر دارند. فلدسپارهای قلیایی در اندازه‌ی تقریبی $5/5$ تا $3/5$ میلی‌متر وجود دارند. پیروکسن‌ها، در اندازه‌ی $0/5$ تا $0/5$



شکل ۵ الف- بافت اصلی گلانولار، بافت فرعی غربالی در پیروکسن، بافت پوئی کیلیتیک و برونیوم در الیوین گابروها، ب) بافت فرعی اینترگلانولار در گابروها، پ) بافت فرعی افیتیک در گابروها، ت) بافت اصلی پورفیری و منطقه‌بندی در پیروکسن‌ها و پلازیوکلازهای میکرو گابروها، ث) بافت فرعی غربالی در پلازیوکلازهای میکرو گابروها، ج) ماکل دوتایی کانی پیروکسن در میکرو گابروها. Plg: پلازیوکلاز، op: کانی کدر، Ol: الیوین، Px: پیروکسن.

کلینوپیروکسن (دیوپسید) هستند (شکل ۶ ب). همچنین، بر اساس نمودار $Mg/(Fe^{+2}+Mg)$ نسبت به $Fe^{+2}/(Fe^{+2}+Mg)$ [۳۶]، الیوین‌های این منطقه، از نوع هیالوسیدریت بوده که الیوین‌های غنی از منیزیم هستند. الیوین فورستریتی بیشتر در گوشته و یا در سنگ‌های آذرینی که به صورت مستقیم از گوشته صعود می‌کنند، یافت می‌شود [۳۸] و می‌توان چنین گفت که خاستگاه این کانی‌ها گوشته‌ای است (شکل ۶ پ) که وجود پگماتیت‌گابرو در نمونه‌های منطقه‌ی مورد بررسی، گوشته‌ای بودن خاستگاه را تأیید می‌کند.

شیمی کانی‌ها

در این پژوهش، برای شناسایی ترکیب شیمیایی کانی‌های نمونه‌ی منطقه‌ی مورد بررسی جوزم، کانی‌های پلازیوکلاز، پیروکسن و الیوین آنالیز ریزپردازشی الکترونی شدند (جدول ۱، ۲ و ۳).

بر اساس نمودار مثلثی آلبیت-ارتوز-آنورتیت [۳۶]، پلازیوکلازهای نمونه‌های منطقه‌ی مورد بررسی، از نوع آندزین تا بایتونیت بوده (شکل ۶ الف) و بر پایه‌ی نمودار سه‌تایی Wo-En-Fs [۳۷]، پیروکسن‌های نمونه‌های این منطقه از نوع

پیش و یا همزمان با فوران ثبت می‌کنند [۴۰].

توده‌ی گابرویی بر اثر کاهش دما و تبلور کانی‌های الیوین و پیروکسن ایجاد می‌گردد [۴۱]. در توده‌ی گابرویی، کانی پلازیوکلаз بسیار یافت می‌شود که به علت جدایش فازهای مافیک در فشار به نسبت بالاست. در این فشارها به دلیل تبلور فارهای مافیک، اکسیدآلومینیوم در مذاب افزایش می‌یابد و در فشارهای پایین‌تر، کانی‌های پلازیوکلاز در دمای انجماد، از مذاب مافیک متبلور می‌گردد که نشان می‌دهد که ماقمای مادر نمونه‌های این منطقه پیش از جایگزینی دچار فرایند جدایش شده‌اند [۴۲، ۴۳]. در پیروکسن‌های نمونه‌های این منطقه، آلومینیوم بیشتر از سدیم است، از این رو این کانی‌ها در گروه پیروکسن‌های کلسیمی قرار دارند، زیرا با افزایش آلومینیوم در ترکیب کانی پیروکسن، فعالیت کلسیم زیاد می‌شود که ناشی از افزایش فشار هنگام تبلور کانی است [۴۴].

بحث و بررسی دگرگونی‌های ماقمایی

در نمونه‌های منطقه‌ی مورد بررسی، نشانه‌های سنگ نگاری پدیده‌ی جدایش ماقمایی و آلایش ماقمایی چون برونبوom و بافت غربال وجود دارند که بیانگر شرایط عدم تعادل طی انجماد ماقما استند. همچنین، در پلازیوکلازها و پیروکسن‌های موجود در این سنگ‌ها، منطقه‌بندی دیده می‌شود. منطقه‌بندی در کانی‌های پلازیوکلاز به سه علت ایجاد می‌شود که عبارتند از ۱- بازجذب یا انحلال بیگانه بلورهایی که طی آلایش ماقمایی یا هضم در ماقما بوده‌اند. ۲- بازجذب یا انحلال درشت بلورها به دلیل فشار سیال‌ها و یا افزایش دمای ذوب و ۳- کاهش رشد بلوری به دلیل سردشدن سریع [۳۹]. همچنین، ماهیت درشت بلورهای پیروکسن و منطقه‌بندی در آن‌ها فرایندهای ماقمایی را در مخازن ماقمایی

جدول ۱ نتایج تجزیه نقطه‌ای پلازیوکلازها در نمونه‌های منطقه‌ی مورد بررسی اکسیدهای عناصر اصلی بر حسب درصد وزنی Wt% و کاتیون‌ها بر حسب (apfu). کاتیون‌ها بر پایه‌ی ۸ اتم اکسیژن محاسبه شده‌اند.

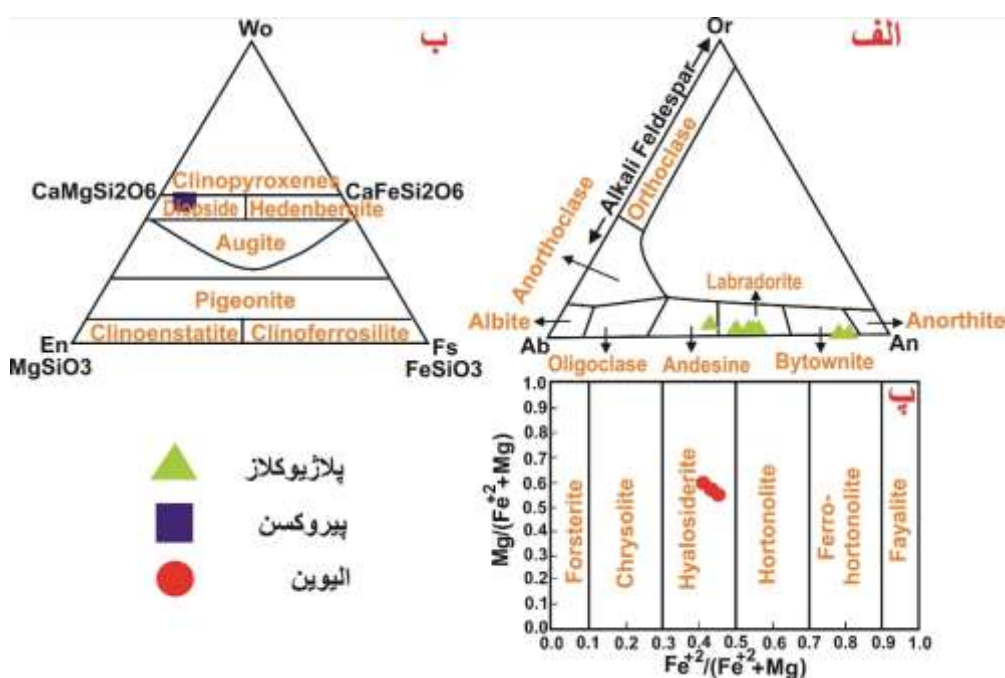
شماره نمونه‌ها و نقاط تجزیه شده	۱JA۳-A۴-PIg-۲۳	۱JA۳-A۵-PIg-۲۵	۱JA۳-A۶-PIg-۲۸	۱JA۳-A۸-PIg-۳۰	۱JA۳-A۸-PIg-۳۱	۱JA۳-A۸-PIg-۳۲	۱JA۳-A۱۰-PIg-۳۸
نام سنگ	الیوین						
SiO ₄	۵۴,۰۴	۴۶,۸۱	۵۳,۵۹	۴۶,۳۷	۵۷,۰۲	۵۴,۸۴	۵۳,۱۹
TiO ₄	۰,۰۶۲۸	۰,۰۳	۰,۱۱۳۶	۰,۰۴۵	۰,۰۸۲۱	۰,۰۷۷۷	۰,۱۱۶۵
Al ₂ O ₃	۲۹,۵۵	۳۳,۹۷	۲۹,۲۲	۳۴,۴۴	۲۷,۴۶	۲۸,۵	۲۹,۵۶
FeO	۰,۲۲۲۱	۰,۲۰۴۱	۰,۲۹۲۱	۰,۱۷۷۳	۰,۲۳۶۴	۰,۲۳	۰,۲۲۶۲
MnO	۰,۰۱۲۵	۰,۰۲۵۸	۰,۰۰۸۸	۰,۰۰۷۴	-	۰,۰۱۹۹	-
MgO	۰,۰۰۱۹	-	۰,۰۶۳	-	۰,۰۲۲۱	۰,۰۴۵۹	۰,۰۲۲۹
CaO	۱۱,۷۷	۱۷,۱۵	۱۱,۹۳	۱۷,۶	۹,۲۷	۱۰,۹۶	۱۲,۲۳
Na ₂ O	۴,۴۹	۱,۶۴	۴,۳۲	۱,۲۹	۵,۵۶	۴,۸۲	۴,۳۶
K ₂ O	۰,۳۶	۰,۰۷	۰,۴۰	۰,۰۶	۰,۶۵	۰,۴۰	۰,۳۲
Cr ₂ O ₃	-	۰,۰۱	-	-	۰,۰۵	۰,۰۶	۰,۰۴
مجموع اکسیدها	۱۰۰,۵۱	۹۹,۹۱	۹۹,۹۴	۹۹,۹۵	۱۰۰,۳۶	۹۹,۹۶	۱۰۰,۱۶
OX	۸	۸	۸	۸	۸	۸	۸
Si	۲۴۳	۲,۱۵۴	۲,۴۲۷	۲,۱۳۲	۲,۵۵۴	۲,۴۷۷	۲,۴۰۹
Ti	۰,۰۰۳	-	۰,۰۰۳	-	۰,۰۰۳	۰,۰۰۳	۰,۰۰۳
Al	۱,۵۶۹	۱,۸۴۳	۱,۵۶۳	۱,۸۶۸	۱,۴۴۹	۱,۵۲	۱,۵۷۹
Fe ^{۲+}	۰,۰۰۸	۰,۰۰۸	۰,۰۱۱	۰,۰۰۶	۰,۰۰۸	۰,۰۰۸	۰,۰۰۸
Mn	-	-	-	-	-	-	-
Mg	-	-	۰,۰۰۵	-	۰,۰۰۳	۰,۰۰۳	۰,۰۰۳
Ca	۰,۶	۰,۸	۰,۶	۰,۹	۰,۴	۰,۵	۰,۶
Na	۰,۳۹	۰,۱۴۴	۰,۳۸	۰,۱۱۶	۰,۴۸۴	۰,۴۲۴	۰,۳۸۲
K	۰,۰۲۲	۰,۰۰۶	۰,۰۲۲	۰,۰۰۶	۰,۰۳۸	۰,۰۲۲	۰,۰۱۶
Cr	-	-	-	-	-	-	-
مجموع کاتیون‌ها	۴,۹۹	۵,۰۰۱	۴,۹۹۱	۴,۹۹۶	۴,۹۸۲	۴,۹۸۶	۴,۹۹۹
Ab	۰,۴	۰,۱	۰,۴	۰,۱	۰,۵	۰,۴	۰,۴
An	۰,۶	۰,۸	۰,۶	۰,۸	۰,۵	۰,۵	۰,۶
Or	۰,۰۲	۰,۰۰۶	۰,۰۲	۰,۰۰۶	۰,۰۴	۰,۰۲	۰,۰۲

جدول ۲ نتایج تجزیه آنالیز نقطه‌ای پیروکسن‌ها در نمونه‌های منطقه‌ی مورد بررسی جوزم. (محاسبه‌ی کاتیون‌ها بر پایه‌ی ۶ اتم اکسیژن) (اکسیدهای عناصر اصلی بر حسب درصد وزنی wt% و کاتیون‌ها بر حسب (apfu).

شماره نمونه‌ها و نقاط تجزیه شده	۱JA۳-A۵-PX-۲۶	۱JA۳-A۶-PX-۲۷	۱JA۳-A۸-PX-۲۴	۱JA۳-A۹-PX-۳۵	۱JA۳-A۹-PX-۳۶	۱JA۳-A۹-PX-۳۷	۱JA۳-A۱۰-PX-۳۹
نام سنگ	البین گلبرو						
SiO ₄	۵۱,۰۴	۵۱,۶۵	۵۱,۲	۵۱,۲۴	۴۸,۹۳	۵۰,۸۳	۵۰,۸۷
TiO ₄	۱,۱۸	۰,۵۷	۱,۲۵	۱,۰۸	۱,۰۷	۱,۲۷	۱,۱۳
Al ₂ O ₃	۲,۵	۳,۷	۳,۴۹	۲,۹	۶,۳۳	۳,۲۶	۲,۹۹
FeO	۹,۱۶	۸,۲۱	۹,۰۹	۹,۴۳	۷,۳۳	۹,۳۲	۹,۱۷
MnO	۰,۳۲	۰,۲۲	۰,۳۱	۰,۱۶	۰,۱۶	۰,۲۷	۰,۳۴
MgO	۱۳,۴۷	۱۴,۶۵	۱۳,۸۱	۱۳,۶۱	۱۳,۷	۱۳,۵۹	۱۴,۱۷
CaO	۲۱,۶۱	۲۱,۶	۲۱,۵۸	۲۱,۸۳	۲۲,۳۵	۲۱,۴۸	۲۱,۳
Na ₂ O	۰,۴۹	۰,۴۱	۰,۳۶	۰,۴۴	۰,۴۰	۰,۳۷	۰,۳۶
K ₂ O	۰,۰۰۵۱	۰,۰۰۶۳	-	-	۰,۰۰۴۴	۰,۰۰۱۷	-
Cr ₂ O ₃	۰,۰۰۲۶	۰,۰۸۵۸	۰,۰۱۶۷	-	۰,۲۴۰۳	-	۰,۰۴۲
مجموع اکسیدها	۱۰۰,۷۸	۱۰۰,۷۷	۱۰۰,۹۳	۱۰۰,۶۹	۱۰۰,۵۲	۱۰۰,۴	۱۰۰,۳۸
OX	۶	۶	۶	۶	۶	۶	۶
Si	۱۸,۹۶	۱۹,۰۵	۱۸,۸۹	۱۹,۶	۱۸,۱۲	۱۸,۹۴	۱۸,۹۷
Ti	۰,۱۳۴	۰,۱۵	۰,۰۳۵	۰,۰۳۲	۰,۰۲۹	۰,۰۳۶	۰,۰۳۲
Al	۰,۱۵۲	۰,۱۴۶	۰,۱۵۱	۰,۱۲۵	۰,۱۷۶	۰,۱۴۳	۰,۱۳
Fe ^r	۰,۲۸۳	۰,۲۵۳	۰,۲۸۳	۰,۲۹۳	۰,۲۲۷	۰,۲۹۱	۰,۲۸۷
Mn	۰,۰۰۹	۰,۰۰۷	۰,۰۰۹	۰,۰۰۴	۰,۰۰۴	۰,۰۰۹	۰,۰۱۱
Mg	۰,۷۴۵	۰,۸۰۴	۰,۷۶۳	۰,۷۵۵	۰,۷۵۷	۰,۷۵۴	۰,۷۸۶
Ca	۰,۸۵۹	۰,۸۵۳	۰,۸۵۷	۰,۸۵۹	۰,۸۸۸	۰,۸۵۷	۰,۸۵۱
Na	۰,۰۳۶	۰,۰۳۲	۰,۰۲۶	۰,۰۲۲	۰,۰۳۲	۰,۰۲۶	۰,۰۲۶
K	-	-	-	-	-	-	-
Cr	-	۰,۰۰۵	-	-	۰,۰۰۹	-	-
مجموع کاتیون‌ها	۴۰,۱۴	۴۰,۰۲۱	۴۰,۰۱۳	۴۰,۰۱۵	۴۰,۰۳۴	۴۰,۰۱	۴۰,۰۱۹
Al ^(IV)	۰,۱۰۴	۰,۰۹۵	۰,۱۱۱	۰,۰۹۴	۰,۱۸۸	۰,۱۰۶	۰,۱۰۳
Al ^(VI)	۰,۰۴۸	۰,۰۵۱	۰,۰۰۴	۰,۰۲۱	۰,۰۸۸	۰,۰۳۷	۰,۰۲۷
Woll	۰,۸۰۷	۰,۸۰۵	۰,۸۰۱	۰,۵۲۳	۰,۷۹۴	۰,۸۰۴	۰,۷۹۹
En	۰,۷۴۵	۰,۸۰۴	۰,۷۶۳	۰,۷۵۵	۰,۷۵۷	۰,۷۵۴	۰,۷۸۶
Fs	۰,۱۴۶	۰,۱۳	۰,۱۴۶	۰,۱۴۸	۰,۱۱۶	۰,۱۵	۰,۱۴۹

جدول ۳ نتایج تجزیه آنالیز نقطه‌ای الیوین‌ها (اکسیدهای عناصر اصلی بر حسب درصد وزنی wt% و کاتیون‌ها بر حسب (apfu) در نمونه‌های منطقه‌ی مورد بررسی جوزم (محاسبه‌ی کاتیون‌ها بر پایه‌ی ۴ اتم اکسیژن).

شماره نمونه‌ها و نقاط تجزیه شده	۱JA۳-A۱-OI-۱	۱JA۳-A۳-OI-۱۷	۱JA۳-A۴-OI-۲۲
نام سنگ	البین گلبرو	البین گلبرو	البین گلبرو
SiO ₄	۳۶,۵۷	۳۶,۴۱	۳۶,۱
TiO ₄	۰,۰۰۸۲	۰,۰۰۲۷	۰,۰۶۲۷
Al ₂ O ₃	۰,۰۲۸۵	۰,۰۱۵۹	۰,۰۱۳۳
FeO	۳۷,۷۷	۳۷,۲	۳۹,۴۲
MnO	۰,۹۹	۰,۹۰	۱,۱۱
MgO	۲۸,۶	۲۸,۹	۲۷,۲
CaO	۰,۲۴	۰,۱۵	۰,۲۵
Na ₂ O	-	-	-
K ₂ O	-	-	۰,۰۰۸
Cr ₂ O ₃	-	-	۰,۰۴۷
مجموع اکسیدها	۱۰۴,۲	۱۰۳,۵	۱۰۴,۲
OX	۴	۴	۴
Si	۰,۹۸۶	۰,۹۸۵	۰,۹۸۲
Ti	-	-	۰,۰۰۲
Al	-	-	-
Fe ^r	۰,۸۵۲	۰,۸۴۲	۰,۸۹۷
Mn	۰,۰۲۳	۰,۰۲۱	۰,۰۲۶
Mg	۱,۱۴۷	۱,۱۶۳	۱,۱۰۱
Ca	۰,۰۰۶	۰,۰۰۵	۰,۰۰۸
Na	-	-	-
K	-	-	-
Cr	-	-	-
مجموع کاتیون‌ها	۳۰,۱۴	۳۰,۱۵	۳۰,۱۶
Fo	۵۷,۳۷۸۶۹	۵۸,۰۰۴۹۹	۵۵,۱۰۵۱۱
Fa	۴۲,۶۲۱۳۱	۴۱,۹۹۵۰۱	۴۴,۸۹۴۸۹



شکل ۶ الف- جایگاه پلازیوکلازها در نمودار مثلثی البیت-ارتوز-آنورتیت [۳۶]، ب- جایگاه پیروکسن‌ها در نمودار Wo-En-Fs [۳۷]، پ- جایگاه الیوین‌ها در نمودار $Mg/(Fe^{2+}+Mg)$ نسبت به $Fe^{2+}/(Fe^{2+}+Mg)$ [۳۶].

با پیشرفت MgO ، مقدار Na_2O+K_2O از پلازیوکلازها، ۱/۳۵ تا ۱/۲۱ درصد، به سوی پیروکسن‌ها، ۰/۳۶ تا ۰/۴۹ درصد و در سرانجام به طرف الیوین‌ها، ۰/۰۸ درصد، روند نزولی دارد (شکل ۷ پ). کاهش Na_2O نسبت به افزایش MgO از کانی‌های فلزی به‌سمت کانی‌های مافیک در سنگ‌های گابرویی در اصل به‌دلیل تفاوت در چگالی کانی‌هاست که بر تبلور و جداسازی آن‌ها طی سرد شدن ماقماً اثر دارد. یون‌های منیزیم و آهن به‌دلیل اندازه‌ها و بارهای یونی مشابه می‌توانند به راحتی در شبکه‌ی بلوری کانی‌های مافیک جایگزین هم شوند که باعث افزایش چگالی این کانی‌ها می‌گردد و این کانی‌ها به‌دلیل داشتن آهن و منیزیم، سنگین‌تر هستند و تمایل به فرو رفتن در محفظه‌ی ماقماً دارند. این در حالی است که یون‌های سدیم، بزرگ‌تر هستند و به‌خوبی در این محیط‌ها جا نمی‌شوند [۴۸]. همچنین، پتانسیم یک عنصر ناسازگار است که به جای این که وارد ساختار بلوری کانی اولیه شود، ترجیح می‌دهد که در مذاب، باقی بماند. با متبلور شدن الیوین و پیروکسن، K_2O به طور فزاینده‌ای در مذاب باقی‌مانده متمرکز می‌شود. کانی‌های فلزی چون فلدسپار قلبی‌ای، که سرشار از پتانسیم هستند، متبلور می‌شوند و در این زمان، ماقماً تکامل‌یافته‌تر و غنی‌تر از K_2O می‌گردد [۴۹].

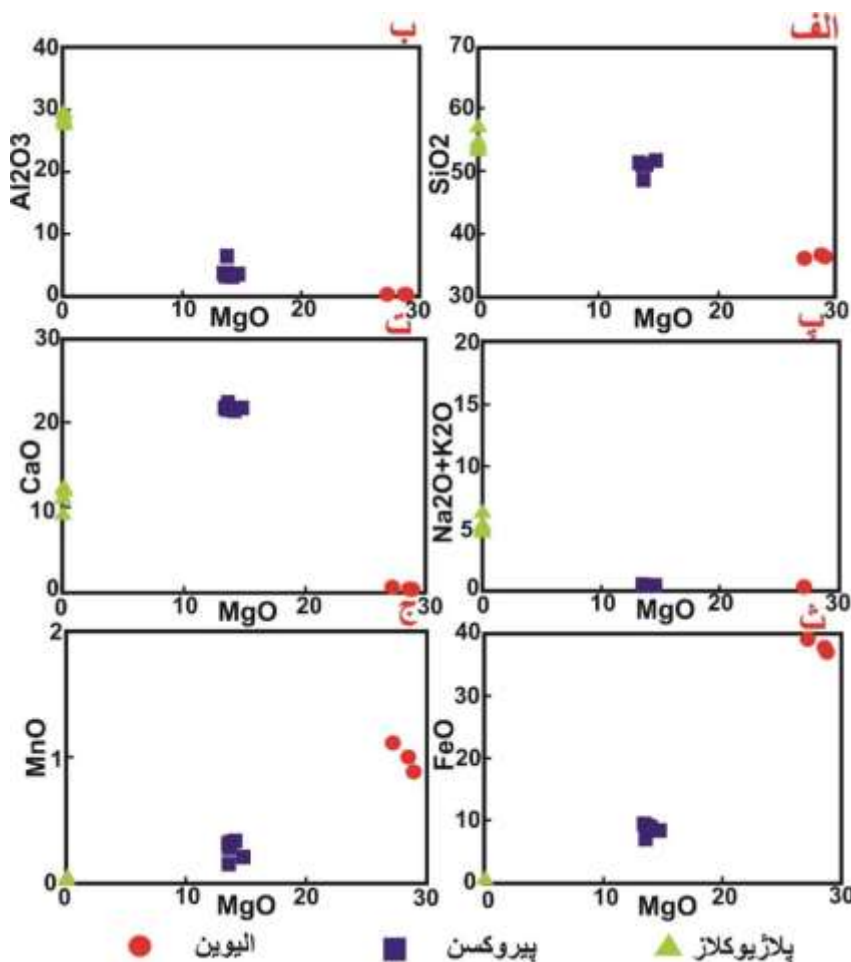
برای بررسی دگرگونی‌های ماقماً‌ای، نمودار فنر برخی از اکسیدهای عناصر اصلی (بر حسب درصد وزنی %) نسبت به MgO ، برای نمونه‌های منطقه رسم شد (شکل ۷). مقدار SiO_2 از پلازیوکلازها، ۴۶/۳۷ تا ۵۷/۰۲ درصد، به‌سوی پیروکسن‌ها، ۳۶/۵۷ تا ۵۱/۶۵ درصد و سرانجام به‌سمت الیوین‌ها، ۴۸/۹۳ تا ۳۶/۵۷ درصد، روند نزولی دارد (شکل ۷ الف). تشکیل سنگ‌های مافیک ناشی از ذوب مواد گوشه‌ای است که سیلیس کم اما منیزیم و آهن بالایی دارند. هنگامی که ماقماً تکامل می‌یابد، دستخوش تبلور جدایشی می‌شود. در فازهای ابتدایی جدایش، زمانی که کانی‌های اولیه‌ی غنی از منیزیم و آهن متبلور می‌شوند، مایعی غنی از سیلیس باقی می‌ماند که منجر به کاهش SiO_2 و افزایش MgO می‌گردد [۴۶، ۴۵]. مقدار Al_2O_3 از پلازیوکلازها، ۲۷/۴۶ تا ۳۴/۴۴ درصد، به‌سوی پیروکسن‌ها، ۲/۹ تا ۶/۳۳ درصد و سرانجام به‌سمت الیوین‌ها، ۰/۰۱۳۳ تا ۰/۰۲۸۵ درصد، روند نزولی دارد (شکل ۷ ب). کاهش Al_2O_3 با افزایش MgO ، از کانی‌های فلزی به‌علت به‌سمت کانی‌های مافیک در سنگ‌های گابرویی به‌افزایش آلومنیوم با منیزیم در کانی‌های فرومیزین چون الیوین و پیروکسن است [۴۷].

پیشرفت جدایش ماقما، کانی‌های جدایش یافته‌تر چون الیوین‌ها، آهن بیشتری دارند [۵۲]. به طور کلی، افزایش FeO نسبت به افزایش MgO در سنگ‌های گابروبی بیشتر با فرآیندهای تبلور جدایشی، شرایط فوگاسیته اکسیژن، ترکیب ماقما اولیه و برهم‌کنش‌های بین کانی‌های متبلور انجام می‌شود [۵۳].

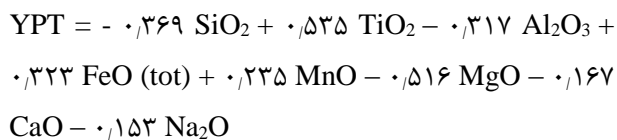
فراوانی MnO از پلازیوکلازها، ۰،۰۲۵۸ درصد، به سوی پیروکسن‌ها، ۰،۱۶ تا ۰،۳۴ درصد و سرانجام الیوین‌ها، ۰،۹۰ تا ۱،۱۱ درصد، روند صعودی دارد (شکل ۷ ج). افزایش MnO نسبت به MgO از کانی‌های فلسوی به سوی کانی‌های مافیک در سنگ‌های گابروبی را می‌توان با تحرک و پتانسیل بالای اکسایش عنصر منگنز توضیح داد، در حالی که عنصر منیزیم پایدارتر می‌ماند و تنوع کمتری در تشکیل کانی دارد [۵۴، ۵۵].

مقدار CaO از پلازیوکلازها، ۹،۲۷ تا ۱۲،۳۳ درصد، به سوی پیروکسن‌ها، ۲۱،۳ تا ۲۲،۳۵ درصد، روند صعودی و سرانجام به طرف الیوین‌ها، ۰،۱۵ تا ۰،۲۵ درصد، روند نزولی دارد (شکل ۷ ت). افزایش اکسید کلسیم در پیروکسن‌ها، گوبای رخداد جدایش در این کانی‌هاست [۴۵]. تغییر کانی‌های مافیک چون پیروکسن به آمفیبول می‌تواند به افزایش مقدار CaO کمک کند، زیرا آمفیبول به طور کلی دارای مقدار CaO بالاتری در مقایسه با پیروکسن است. این فرآیند تغییر اغلب با هجوم مذاب‌ها یا سیال‌های آبدار به سنگ‌های گابروبی همراه است [۵۰، ۵۱].

فراوانی FeO از پلازیوکلازها، ۰،۱۷۷۳ تا ۰،۲۹۲۱ درصد، به سوی پیروکسن‌ها، ۷،۳۳ تا ۹،۴۳ درصد و سرانجام الیوین‌ها، ۳۷،۲ تا ۳۹،۴۲ درصد، روند صعودی دارد (شکل ۷ ث). عنصر Fe عنصری سازگار است و در مراحل اولیه‌ی جدایش به ترکیب کانی‌های فرومیزین چون الیوین و پیروکسن نفوذ می‌کند. با



شکل ۷ نمودارهای فنر برخی از اکسیدهای عناصر اصلی کانی‌های پلازیوکلاز، پیروکسن و الیوین موجود در نمونه‌ی منطقه‌ی مورد بررسی.



دمای ایجاد کانی‌های پیروکسن در نمونه‌های منطقه‌ی مورد بررسی (شکل ۹ الف) حدود ۱۱۸۰ تا ۱۲۲۰ درجه‌ی سانتی‌گراد و فشار تبلور آنها (شکل ۹ ب) در حدود ۶ تا ۱۰ کیلوبار است.

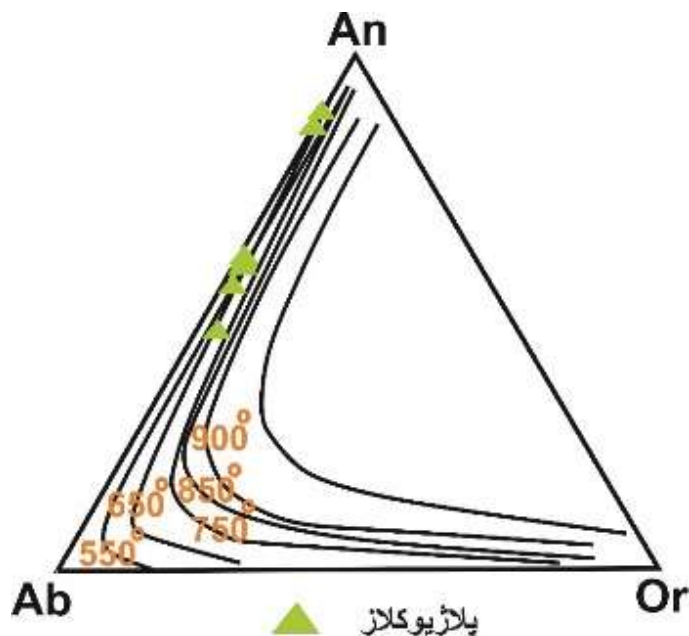
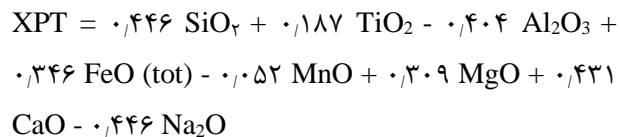
فوگاسیته اکسیژن در محیط تشکیل کانی‌های پیروکسن نقش بسیار مهمی در تغییر دمای انجماد، ترکیب مذاب و بلور Al^{VI}+2Ti+Cr نسبت به Al^{IV}+Na دارد [۶۱]. در نمودار Al^{VI}+2Ti+Cr با Al^{IV}+Na با عبور می‌کند، نشان‌گر $\text{Fe}^{+3}=0$ است. واقع شدن نمونه‌ها در پایین و یا بالای خط $\text{Fe}^{+3}=0$ به ترتیب گویای کم و زیادبودن فوگاسیته اکسیژن در محیط ایجاد کانی‌های پیروکسن است. کانی‌های کلینوپیروکسن موجود در نمونه‌های این منطقه در بالای خط $\text{Fe}^{+3}=0$ قرار می‌گیرند (شکل ۹ پ) و بر اساس فاصله‌ی زیادی که از خط $\text{Fe}^{+3}=0$ دارند، می‌توان گفت که فوگاسیته اکسیژن در محیط تشکیل آن‌ها بالا بوده است.

زمین دما فشارسننجی

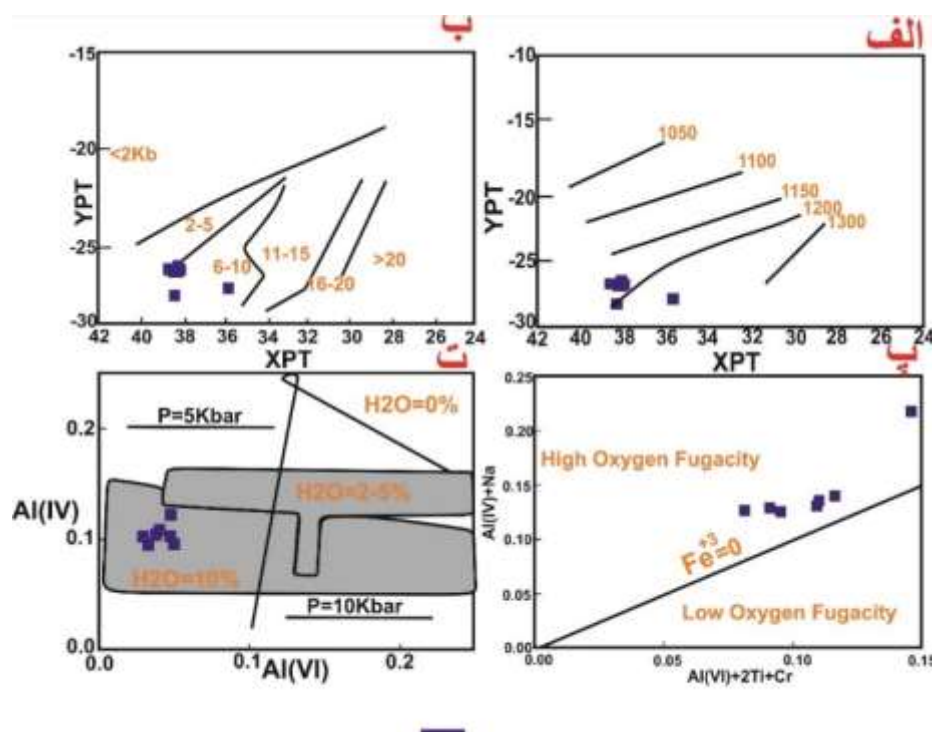
دمای تبلور کانی‌های پلاژیوکلاز و پیروکسن نشان‌گر تاریخچه‌ی سرد شدن و ترکیب ماقمایی است که از آن تشکیل شده‌اند [۵۶] و در حالی که هر دو کانی از یک منبع ماقمایی تشکیل می‌شوند، پلاژیوکلازها در دمای پایین‌تری در مقایسه با پیروکسن‌ها در تشکیل سنگ‌های گابرویی متبلور می‌شوند [۵۷].

بر اساس نمودار مثلثی آلبیت-آنورتیت-ارتوز [۵۸، ۵۹]، کانی‌های پلاژیوکلاز نمونه‌های منطقه‌ی مورد بررسی، در گستره ۵۵۰ تا ۸۵۰ درجه‌ی سانتی‌گراد تشکیل شده‌اند (شکل ۸).

برای بررسی دما و فشار ایجاد کانی پیروکسن با توجه به شاخص‌های XPT و YPT از روابط زیر [۶۰] و سپس بر اساس نمودار تعیین دما و فشار کانی پیروکسن به روش مرجع [۶۰]، استفاده شد:



شکل ۸ تعیین دمای تشکیل پلاژیوکلازها براساس نمودار مثلثی آلبیت-آنورتیت-ارتوز [۵۹، ۵۸].



پیروکسن

شکل ۹ الف- تعیین دمای تشکیل کانی‌های پیروکسن، با توجه به شاخص‌های XPT و YPT به روش مرجع [۶۰]، ب- تعیین فشار تشکیل کانی‌های پیروکسن، با توجه به شاخص‌های XPT و YPT به روش مرجع [۶۰]، پ- برآورد فوگاستیه اکسیژن در محیط ایجاد پیروکسن بر اساس نمودار تغییرات $\text{Al}^{\text{IV}} + 2\text{Ti} + \text{Cr}$ نسبت به Al^{VI} [۶۲]، ت- نمودار توزیع آلومینیوم در جایگاه هشت وجهی (اکتاھدری) (Al^{IV}) نسبت به جایگاه چاروجهی (تترادھری) (Al^{VI}) کانی‌های پیروکسن [۶۳، ۶۴].

دگرگونی هستند؛ طی دگرگونی، پیروکسن‌ها می‌توانند با آب واکنش داده و آمفیبولهای را تشکیل دهند که سیلیکات‌های آبدار هستند. این امر نشان می‌دهد که آب نقش مهمی در تبدیل و پایداری پیروکسن‌ها در محیط‌های دگرگونی دارد. [۶۵]

سنگزایی (پتروژنز)

منطقه‌ی مورد بررسی، بر اساس فرورانش پوسته‌ی اقیانوسی نئوتیس به زیر پوسته‌ی قاره‌ای ایران مرکزی ایجاد شده است. این منطقه، در جنوب شرقی کمربند ماقمایی ارومیه - دختر، شمال غرب نوار دهچ - ساردوئیه و در شهر بابک قرار دارد. در ارتباط با خاستگاه این کمربند سه نظریه وجود دارد. ۱) مدل اول مدل فرورانش است؛ بسیاری از پژوهشگران بر این باورند که آتشفسانه‌ای ایران مرکزی از نوع کمپرسیونی هستند و فرورانش پوسته‌ی اقیانوسی نئوتیس به زیر پوسته‌ی قاره‌ای ایران مرکزی موجب فعالیت‌های آتشفسانی شده است [۱، ۵، ۶].

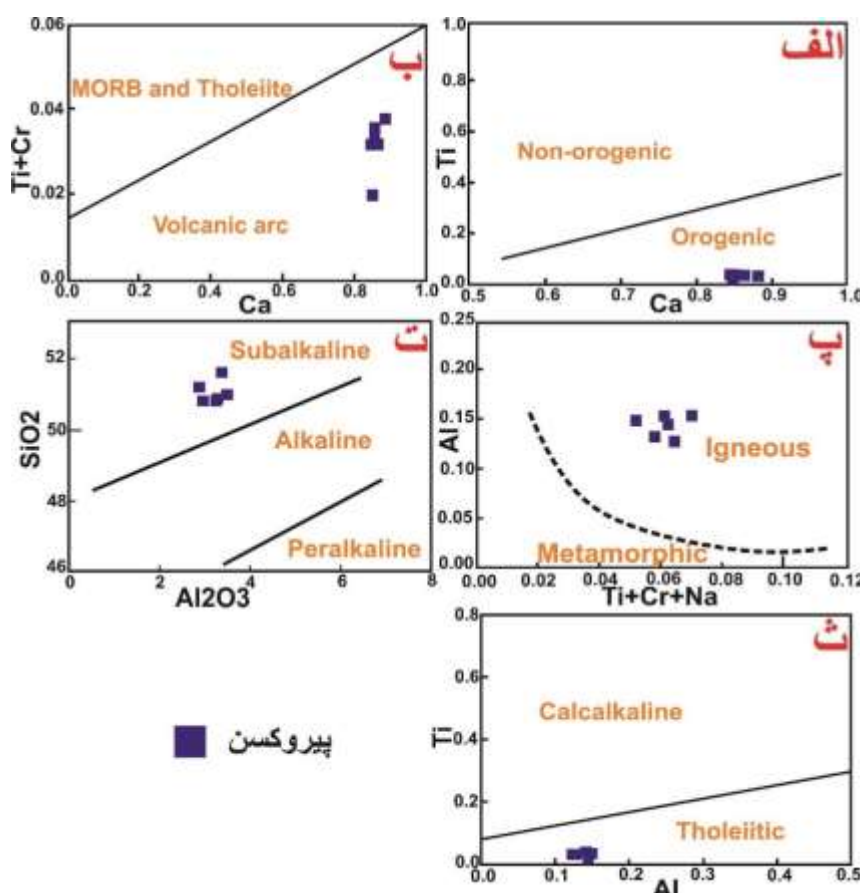
بر اساس نمودار توزیع آلومینیوم در جایگاه هشت وجهی (Al^{IV}) نسبت به جایگاه چاروجهی (Al^{VI}) کانی‌های پیروکسن [۶۳، ۶۴]، مقدار آب ماقما طی تبلور ماقما ۱۰ درصد است (شکل ۹ ت). وجود آب طی تشکیل کانی‌های پیروکسن به عوامل متعددی بستگی دارد؛ ۱) نخستین عامل ترکیب یون‌های هیدروکسیل (OH) است؛ یون‌های هیدروکسیل می‌توانند جایگزین اتم‌های اکسیژن در ترکیب پیروکسن شوند و پیروکسن‌های آبدار ایجاد کنند. این فرآیند می‌تواند در شرایط ویژه، چون سرد شدن ماقماهای اشباع شده از آب یا در محیط‌هایی که آب در گوشته وجود دارد، رخ دهد. ۲) دومین عامل انتشار وابسته به دماسه؛ انتشار هیدروژن (از آب) به پیروکسن‌ها بستگی به دما دارد، به این معنی که در دماهای بالاتر، آب می‌تواند راحت‌تر وارد شود. این امر بهویژه در گوشته‌ی بالایی که در آن پیروکسن‌ها از مذاب‌های غنی از آب تشکیل می‌شوند، رخ می‌دهد. ۳) عامل سوم فرآیندهای

وجود آتشفشنانهای کافتی در بعضی مناطق را همزمان با فشردگی در دیگر مناطق توجیه کند [۶۷]. باور میدللموست [۶۸]، در پهنه‌های برخورد قاره - قاره و در ناحیه‌های کنار کرانه‌ی فعال قاره‌ای، به احتمال بسیار پوسته دچار کشش و بازشدگی شده است و گسل‌های عمیقی فعال شده‌اند. از این رو حضور فعالیت‌های ماقمایی در راستای گسل‌ها به این امر مربوط می‌شود. در منطقه‌ی مورد بررسی جوزم، توده‌ی گابرویی به زیر آتشفشنانی‌های اؤسن بیرون‌زدگی دارد. این امر، با توجه به بررسی‌های صحرایی، به احتمال بسیار به دلیل برخورد دو گسل (شمال‌شرق - جنوب‌غرب و شرقی - غربی) و در نتیجه، نفوذ توده‌ی گابرویی از اعمق بسیار زیاد به زیر آتشفشنانی‌های اؤسن است که مدل فشردگی و اتساع را که تکمیل‌کننده‌ی مدل فروزانش است، تأیید می‌کند.

در توده‌ی نفوذی گابرویی منطقه‌ی مورد بررسی، پigmاتیت‌گابرو دیده می‌شود. پigmاتیت‌گابروها، در شرایطی ایجاد می‌گردد که سرعت هسته‌زایی بلورها کنتر از سرعت رشد بلورهاست و در نتیجه، بلورهای بزرگی با اندازه‌ی اغلب بیش از ۱ سانتی‌متر به وجود می‌آیند. آن‌ها اغلب از بخش مایع آخر یک توده‌ی ماقمایی غنی‌شده با مواد فرار و کانی‌هایی چون فلدسپار‌قلایی و میکا متبلور می‌شوند. پigmاتیت‌گابروها اغلب به صورت عدسی‌هایی در گابرو نمایان می‌شوند که نشان‌دهنده‌ی ارتباط نزدیک خاستگاهی با توده‌ی گابرویی بزرگ‌تر است و نشان می‌دهد که این سنگ‌ها با فرآیندهای ماقمایی عمیقی همراه هستند [۳۴]. همچنین، تشکیل پigmاتیت‌گابروها، به مراحل پایانی تبلور ماقما نسبت داده می‌شود که سیال‌ها با ویسکوزیته پایین غنی از یون‌های محلول، رشد بلورهای بزرگ را تسهیل می‌کنند. این فرآیند، اغلب در محیط‌های با آب و مواد فرار بسیار رخ می‌دهد که امکان تحرک و رشد بلور را فراهم می‌کند [۶۹].

از نظر بررسی‌های شیمی کانی، پیروکسن‌ها، در نمودار Ti نسبت به Ca [۷۰]، در مناطق کوهزایی (شکل ۱۰ الف) و در نمودار $Ti+Cr$ نسبت به Ca [۶۳]، در گستره‌ی کمان آتشفشنانی قرار دارند (شکل ۱۰ ب).

[۲۸]. ۲) مدل دوم مدل کافتش است؛ برخی از پژوهشگران به‌علت حضور بدون ترتیب و درهم گدازه‌های قلیایی و آهکی قلیایی در کنار هم در ایران مرکزی، به فرضیه کافتش باور دارند و معتقدند که آتشفشنانهای ایران مرکزی به سامانه کافتها بین‌قاره‌ای مربوط هستند [۶۶]. ۳) مدل سوم مدل فشردگی و اتساع است؛ این فرضیه برای رفع نقایص نظریه‌ی فشاری (مدل فرورانش) بیان می‌شود. و براساس آن، پس از هر فشردگی در برخی بخش‌ها، بخش‌های دیگر پوسته دچار کشش و بازشدگی شده و گسل‌های عمیقی فعال می‌شوند که در اثر برخورد دو گسل، مذاب گابرویی در حال تبلور در اعماق زیاد است، از زیر آتشفشنانی‌های اؤسن به سطح زمین رسیده و سرد می‌شود. کاهش فشارهای برآمده از نقطه‌ی ضعف ناشی از تقاطع دو گسل، در مقاطع میکروسکوپی، نشانه‌هایی چون کانی‌های ریز در بین کانی‌های درشت هم‌جنس، تغییر روند سرعت رشد بلورها و تشکیل منطقه‌بندی در درشت‌بلورها دارد. به‌طور کلی مراحل متعدد حرکت‌های کوهزایی با فعالیت‌های ماقمایی متفاوتی همراه که عبارتند از ۱) مرحله‌ی اولیه یا مرحله‌ی نفوذ توده‌های بازیک و خروج گدازه، ۲) مرحله‌ی میانی شامل میگماتیتی‌شدن، ایجاد ماقماهای پigmاتیتی - گرانیتی و باتولیت‌های گرانو‌دیوریتی و ۳) مرحله‌ی پایانی شامل فعالیت‌های آتشفشنانی. در بیشتر رشته‌کوههای عظیم، حتی کمربند ماقمایی ارومیه - دختر، هر سه مرحله ماقمایی بسته به شدت کوهزایی دیده می‌شود، به طوری که اگر کوهزایی شدید باشد به‌همان نسبت، این سه مرحله کامل تر هستند. از آنجا که در کوهزایی آلپی در ایران، مرحله‌ی اولیه، مهم است، تشکیل توده‌ی گابرویی را می‌توان نتیجه‌ی مرحله‌ی اولیه‌ی کوهزایی دانست [۳۰]. برخی پژوهشگران با بررسی فوران‌های آتشفشنانی و تعیین رابطه‌ی بین کوهزایی‌های اصلی و سن آن‌ها، به این نتیجه رسیدند که عمدی فعالیت‌های ماقمایی ایران پس از فازهای کوهزایی اصلی رخ می‌دهد. از این رو به‌دلیل شکستگی‌های عمیق در پی‌سنگ ایران و حضور سامانه‌های هورست و گرابن، قطعه‌های سازنده‌ی پی‌سنگ ایران، با هر نیروی فشاری، در بخش‌هایی فشرده و در بخش‌های دیگر دچار کشش می‌شوند. این امر می‌تواند علت



شکل ۱۰ جایگاه پیروکسن‌ها در (الف) نمودار Ti / Ca نسبت به Ca [۷۰] ب- نمودار $Ti + Cr$ نسبت به Ca [۶۳] پ- نمودار Al نسبت به Ca [۶۳]، ت- نمودار SiO_2 نسبت به Al_2O_3 [۷۲] و ث- نمودار Ti / Al نسبت به Al از [۶۳].

بر اساس بررسی‌های شیمی کانی‌های نمونه‌های این منطقه، پلاژیوکلازها از نوع آندزین تا بیتونیت هستند. پیروکسن‌ها از نوع کلینوپیروکسن (دیوپسید) هستند و در گستره‌ی آذرین (نیمه‌قلایی - تولئیتی) قرار دارند. همچنین، این کانی‌ها از نوع کوه‌زایی و کمان آتشفشاری هستند. دمای تشکیل کانی‌های پلاژیوکلاز نمونه‌های این منطقه در گستره‌ی ۵۵۰ تا ۸۵۰ درجه‌ی سانتی‌گراد و برای کانی‌های کلینوپیروکسن، حدود ۱۱۸۰ تا ۱۲۲۰ درجه‌ی سانتی‌گراد است. فشار تبلور کانی‌های کلینوپیروکسن نمونه‌های این منطقه حدود ۶ تا ۱۰ کیلوبار است. در محیط تشکیل کانی‌های پیروکسن، فوگاسیته اکسیژن بالا و مقدار آب ماغما طی تبلور ماغما ۱۰ درصد است. آب موجود طی تبلور پیروکسن در ماغما می‌تواند وابسته به عواملی چون سرعت سرد شدن، ترکیب ماغما، فرآیندهای تبلور باشد. همچنین، آب، به عنوان یک حلal در تسهیل تشکیل کانی نقش دارد. پیروکسن‌ها اغلب در محیط‌های بدون آب متبلور

پیروکسن‌ها بر اساس نمودار تغییرات $Al / Ti + Na + Cr$ [۶۳]، از نوع آذرین (شکل ۱۰ پ)، بر پایه‌ی نمودار SiO_2 نسبت به Al_2O_3 [۷۲] در گستره‌ی نیمه‌قلایی (شکل ۱۰ ت) و در نمودار تغییرات Ti / Al نسبت به Al از [۶۳]، در گستره‌ی تولئیتی قرار می‌گیرند (شکل ۱۰ ث). ذوب‌بخشی پریدوتیت گوشه، به ویژه در گستره‌ی پریدوتیت اسپینل، می‌تواند مذاب‌های تولئیتی ایجاد کند که این مذاب‌ها، پیروکسن‌های تولئیتی را متبلور می‌کنند. همچنین، ترکیب پیروکسن‌ها، نشانگر درجه‌ی ذوب است [۷۳].

برداشت

بر اساس بررسی‌های سنگنگاری، توده‌ی گابروی این منطقه، شامل الیوین‌گابرو، گابرو و میکروگابرو است که به زیر آتشفشاری‌های اثوسن بیرون‌زدگی دارد. در نمونه‌های منطقه‌ی مورد بررسی، بافت‌های غربالی، برونبوم و منطقه‌بندی دیده می‌شوند که گویای شرایط عدم تعادل طی انجام‌دادن ماغما هستند.

Iran", Canadian journal of earth sciences, 18(2) (1981) 210-265.

[6] Hassanzadeh J., "Metallogenic and tectonomagmatic events in the SE sector of the Cenozoic active continental margin of central Iran (Shahr e Babak area, Kerman Province)", University of California, Los Angeles (1993).

[7] Poorhosseini H., Moradian A., Ahmadipour H., Akmal Sh., "Mineralogy of Mafic Rocks in Imamzadeh Abdullah Area, Located in the Road in Kerman (In Persian)", 29th Crystallography and Mineralogy Conference of Iran, Damghan University (2022).

[8] Babazadeh S., Ghorbani M. R., Bröcker M., D'Antonio M., Cottle J., Gebbing T., Ahmadi P., "Late Oligocene–Miocene mantle upwelling and interaction inferred from mantle signatures in gabbroic to granitic rocks from the Urumieh–Dokhtar arc, south Ardestan, Iran", International Geology Review, 59(12) (2017) 1590-1608.

[10] Fazlnia A., "Geochemistry and tectonic setting of the Chah-Bazargan sub-volcanic mafic dykes, south Sanandaj–Sirjan Zone (SSZ), Iran", Geological Quarterly, 62(2) (2018) 447-458.

[11] Hassanzadeh J., Wernicke B. P., "The Neotethyan Sanandaj-Sirjan zone of Iran as an archetype for passive margin-arc transitions", Tectonics, 35(3) (2016) 586-621.

[11] Jafari A., Fazlnia A., Jamei S., "Mafic enclaves in north of Urumieh plutonic complex: evidence of magma mixing and mingling, Sanandaj–Sirjan zone, NW Iran", Arabian Journal of Geosciences, 8 (2015) 7191-7206.

[12] Jafari A., Fazlnia A., Jamei S., "Geochemistry, petrology and geodynamic setting of the Urumieh plutonic complex, Sanandaj–Sirjan zone, NW Iran: new implication for Arabian and Central Iranian plate collision", Journal of African Earth Sciences, 139 (2018) 421-439.

[14] Mouthereau F., Lacombe O., Vergés J., "Building the Zagros collisional orogen: timing, strain distribution and the dynamics of Arabia/Eurasia plate convergence", Tectonophysics, 532 (2012) 27-60.

[15] Yeganehfar H., Ghorbani M. R., Shinjo R., Ghaderi M., "Magmatic and geodynamic evolution of Urumieh–Dokhtar basic volcanism, Central Iran: major, trace element, isotopic, and geochronologic implications", International Geology Review, 55(6) (2013) 767-786.

[15] Jahangiri A., "Post-collisional Miocene adakitic volcanism in NW Iran: geochemical and

می‌شوند، اما حضور آن‌ها در محیط‌های غنی از آب، چون سرد شدن ماقما در مراحل پایانی تبلور یا در مناطق فروزانش، می‌تواند منجر به ترکیب آب در ساختار آنها شود. از این رو، در حالی که پیروکسن‌ها کانی‌های آبدار نیستند، همچنان می‌توانند در بردارنده مقادیر قابل توجهی هیدروکسیل به دلیل شرایط شکل‌گیری خود باشند.

فراوانی پیروکسن‌ها و الیوین‌ها در منطقه مورد بررسی جوزم گویای ماقمای مادر غنی از منیزیم است. الیوین‌های موجود در نمونه‌های این منطقه از نوع هیالوسیدریت و غنی از منیزیم هستند. از آنجاکه الیوین‌های غنی از منیزیم در شرایط دمای بالا و در گوشه و یا در سنگ‌های آذرینی که به صورت مستقیم از گوشه صعود می‌کنند، وجود دارند، می‌توان گفت که خاستگاه این کانی‌ها گوشه است که وجود پگماتیت‌گابرو در نمونه‌های منطقه مورد بررسی، گوشه‌ای بودن خاستگاه را تأیید می‌کند.

قدرتانی

از دکتر مارکو فیلیپی برای آموزش دستگاه‌های موجود در آزمایشگاه دانشگاه یونیمی میلان (ایتالیا) و دکترها جان لوکا سسا و آندریا ریسپلنندته کارشناسان فنی آزمایشگاه و همه افراد بخش زمین‌شناسی دانشگاه یونیمی میلان که صبورانه در انجام آزمایش‌ها کمک کردند، تشکر می‌کنیم. از وزارت علوم، تحقیقات و فناوری ایران، برای اعطای بورسیه‌ی فرصت بررسی‌هایی و دانشگاه شهید باهنر کرمان (ایران) سپاسگزاریم.

مراجع

- [1] Alavi M., "Tectonics of the Zagros orogenic belt of Iran: new data and interpretations", Tectonophysics, 229(3-4) (1994) 211-238.
- [2] Fazlnia A., "Geochemical and tectonic significance of the Arbat alkali gabbro-monzonite-syenite intrusions, Urumieh-Dokhtar Magmatic Arc, Iran", Geological Quarterly, 63(1) (2019).
- [3] Shahabpour J., "Island-arc affinity of the Central Iranian volcanic belt", Journal of Asian earth sciences, 30(5-6) (2007) 652-665.
- [4] Ahmad T., Posht Kuhi M., "Geochemistry and petrogenesis of Urumiah-Dokhtar volcanics around Nain and Rafsanjan areas: a preliminary study. Treatise on the geology of Iran," Iranian Ministry of Mines and Metals (1993) 90.
- [5] Berberian M., King G. C. P., "Towards a paleogeography and tectonic evolution of

- [26] Berberian F., Muir I. D., Pankhurst R. J., Berberian M., “*Late Cretaceous and early Miocene Andean-type plutonic activity in northern Makran and Central Iran*”, Journal of the Geological Society, 139(5) (1982) 605-614.
- [27] Forster H., Fesefeldt K., Kursten M., “*Magmatic and orogenic evolution of the central Iranian*”, volcanic belt: 24th International Geologic Congress (1972).
- [28] Moradian A., “*Geochemistry, geochronology and petrography of feldspathoid bearing rocks in Urumieh-Dokhtar volcanic belt, Iran*”, PhD thesis, University of Wollongong (1997) 412p.
- [29] Ghorbani M., Ebrahimi M., Vathoughi Abedini M., Mozafarzadeh R., “*Tarsir-Quaternary magmatism in Dahaj region (In Persian)*”, Earth and Resources Quarterly, first year (1997) 77-89.
- [30] Ghasemi N., Moradian A., “*Study of petrography, geochemistry, and petrogenesis of gabbroic rocks in Javazm region (north of Shahr-Babak) (In Persian)*”, Master's thesis. Kerman Shahid Bahonar University (2004).
- [31] Dorany M., Moradian A., “*Geochemical and tectonomagmatic investigation of gabbros in southwest of Shahr-Babak, Kerman province (In Persian)*”, Iranian Journal of Crystallography and Mineralogy (2007).
- [32] Stöcklin J., “*Structural history and tectonics of Iran*”, a review. AAPG bulletin, 52(7) (1968) 1229-1258.
- [33] Soheili M., “*Geological Map of Yugoslavia*”, 1:250000 Anar Scale Map (1981).
- [34] Beard J. S., Fullagar P. D., Krisha Sinha A., “*Gabbroic pegmatite intrusions, Iberia Abyssal Plain, ODP Leg 173, Site 1070: Magmatism during a transition from non-volcanic rifting to sea-floor spreading*”, Journal of Petrology, 43(5) (2002) 885-905.
- [35] Streckeisen A., “*To each plutonic rock its proper name*”, Earth-science reviews, 12(1) (1976) 1-33.
- [36] Deer W. A., Howie R. A., Zussman J., “*An introduction to the rock-forming minerals*”, Mineralogical Society of Great Britain and Ireland (2013) 510 p.
- [37] Morimoto N., Fabries J., Ferguson A. K., Ginzburg I. V., Ross M., Seifert F. A., Gottardi G., “*Nomenclature of amphiboles*”, American Mineralogist, 73 (1988) 1123-1133.
- [38] Frost B. R., Frost C. D., “*Essentials of igneous and metamorphic petrology*”, Cambridge University Press (2019).
- geodynamic implications”, Journal of Asian Earth Sciences, 30(3-4) (2007) 433-447.
- [16] McInnes B. I. A., Evans N. J., Belousova E., Griffin W. T., Andrew R. L., “*Timing of mineralization and exhumation processes at the Sar Cheshmeh and Meiduk porphyry Cu deposits, Kerman belt, Iran*”, In Mineral Exploration and Sustainable Development (7th Biennial SGA Meeting, Athens (August 24-28). Millpress, Rotterdam (2003) 1197-1200.
- [17] Neill I., Meliksetian K., Allen M. B., Navarsardyan G., Karapetyan S., “*Pliocene-Quaternary volcanic rocks of NW Armenia: magmatism and lithospheric dynamics within an active orogenic plateau*”, Lithos, 180 (2013) 200-215.
- [18] Neill I., Meliksetian K., Allen M. B., Navasardyan G., Kuiper K., “*Petrogenesis of mafic collision zone magmatism: The Armenian sector of the Turkish-Iranian Plateau*”, Chemical Geology, 403 (2015) 24-41.
- [20] Omrani J., Agard P., Whitechurch H., Benoit M., Prouteau G., Jolivet L., “*Arc-magmatism and subduction history beneath the Zagros Mountains, Iran: a new report of adakites and geodynamic consequences*”, Lithos, 106(3-4) (2008) 380-398.
- [20] Rasouli J., Ghorbani M., Ahadnejad V., Poli G., “*Calk-alkaline magmatism of Jebal-e-Barez plutonic complex, SE Iran: implication for subduction-related magmatic arc*”, Arabian Journal of Geosciences, 9 (2016) 1-22.
- [21] Nabavi Mohammad Hassan. “*An introduction to the geology of Iran (In Persian)*”, (1977) 109.
- [22] Allen M. B., Kheirkhah M., Neill I., Emami M. H., McLeod C. L., “*Generation of arc and within-plate chemical signatures in collision zone magmatism: Quaternary lavas from Kurdistan Province, Iran*”, Journal of Petrology, 54(5) (2013) 887-911.
- [23] Azizi H., Asahara Y., Tsuboi M., “*Quaternary high-Nb basalts: existence of young oceanic crust under the Sanandaj-Sirjan Zone, NW Iran*”, International Geology Review, 56(2) (2014) 167-186.
- [24] Kheirkhah M., Allen M. B., Emami M., “*Quaternary syn-collision magmatism from the Iran/Turkey borderlands*”, Journal of Volcanology and Geothermal Research, 182(1-2) (2009) 1-12.
- [25] McQuarrie N., van Hinsbergen D. J., “*Retrodeforming the Arabia-Eurasia collision zone: Age of collision versus magnitude of continental subduction*”, Geology, 41(3) (2013) 315-318.

- [49] Hu Y., Teng F. Z., Helz R. T., Chauvel C., “*Potassium isotope fractionation during magmatic differentiation and the composition of the mantle*”, Journal of Geophysical Research: Solid Earth, (2021) 126(3), e2020JB021543.
- [50] Ghasempour M. R., Davoudian A. R., Shabanian N., Moeinzadeh H., Nakashima K., “*Geochemistry and mineral chemistry of gabbroic rocks from Horjand of Kerman province, Southeast of Iran: Implications for rifting along the northeastern margin of Gondwana*”, Journal of Geodynamics, 133 (2020) 101675.
- [51] Munnikhuis J. K., Daczko N. R., Langone A., “*Open system reaction between hydrous melt and gabbroic rock in the Finero Mafic Complex*”, Lithos, 440 (2023) 107027.
- [52] Reichow M. K., Saunders A. D., White R. V., Al'Mukhamedov A. I., Medvedev A. Y., “*Geochemistry and petrogenesis of basalts from the West Siberian Basin: an extension of the Permo-Triassic Siberian Traps, Russia*”, Lithos, 79(3-4) (2005) 425-452.
- [53] Khalil K., Summers P., El-Shazly A., “*Origin of the post-collisional younger gabbroic rocks and the associated Fe-Ti oxide ores, Abu Ghagala area, Southern Eastern Desert, Egypt: mineralogical and geochemical constraints*”, Arabian Journal of Geosciences, 16(3) (2023) 160.
- [54] Post J. E., “*Manganese oxide minerals: Crystal structures and economic and environmental significance*”, Proceedings of the National Academy of Sciences, 96(7) (1999) 3447-3454.
- [55] Yun S., Hwang H., Hwang G., Kim Y., Blom D., Vogt T., Lee Y., “*Super-hydration and reduction of manganese oxide minerals at shallow terrestrial depths*”, Nature communications, (2022). 13(1), 1942.
- [56] Gomez L. J., “*Characterization of recent pyroclastic density currents and determination of magma residence times in historic and pre-historic eruptions of Galeras volcano*”, Colombia: a contribution to the hazard assessment. (2021).
- [57] Hossain I., Tsunogae T., Jannatun N., Rahman M. S., Nahar M., Hasan A. M., Khatun M. M., “*Mineral compositional constraints on the petrogenesis of gabbroic and monzodioritic rocks in Rangpur District, NW Bangladesh*”, Journal of Asian Earth Sciences: X, 9, (2023) 100134.
- [58] Kroll H., Evangelakis C., Voll G., “*Two-feldspar geothermometry: a review and revision*”
- [39] Crabtree S. M., Lange R. A., “*Complex phenocryst textures and zoning patterns in andesites and dacites: evidence of degassing-induced rapid crystallization?*”, Journal of Petrology, 52(1) (2011) 3-38.
- [40] Nakagawa M., Wada K., Wood C. P., “*Mixed magmas, mush chambers and eruption triggers: evidence from zoned clinopyroxene phenocrysts in andesitic scoria from the 1995 eruptions of Ruapehu volcano, New Zealand*”, Journal of Petrology, 43(12) (2002) 2279-2303.
- [41] Philpotts A. R., “*A model for the generation of massif-type anorthosites*”, Canadian Mineralogist, 19(2) (1981) 233-253.
- [42] Gertisser R., Keller J., “*From basalt to dacite: origin and evolution of the calc-alkaline series of Salina, Aeolian Arc, Italy*”, Contributions to Mineralogy and Petrology, 139(5) (2000) 607-626.
- [43] Mohammadi R., “*Geochemical characteristics, geodynamic environment and petrological processes of rocks Diorite to gabbro of Natanz complex, (In Persian)*”, Environmental Geology Scientific Research Quarterly, 14th year, number 25, autumn 9 (2020) 69-86.
- [44] Ghorbani M., Hosseinzadeh M. R., “*Mineral Chemistry and Thermo-Barometry of Misho Mafic Complex, Southwestern of Marand Town, East Azarbaijan Province (In Persian)*”, Scientific Quarterly Journal, GEOSCIENCES, Vol. 24, No. 94, Winter 2015 (Petrology & Mineralogy) (2012) 225-234.
- [45] Zhao J. H., Zhou M. F., “*Geochemistry of Neoproterozoic mafic intrusions in the Panzhihua district (Sichuan Province, SW China): Implications for subduction-related metasomatism in the upper mantle*”, Precambrian research, 152(1-2) (2007) 27-47.
- [46] Roberts M. P., Pin C., Clemens J. D., Paquette J. L., “*Petrogenesis of mafic to felsic plutonic rock associations: the calc-alkaline Quérigut complex, French Pyrenees*”, Journal of Petrology, 41(6) (2000) 809-844.
- [47] Andreani M., Daniel I., Pollet-Villard M., “*Aluminum speeds up the hydrothermal alteration of olivine*”, American Mineralogist, 98(10) (2013) 1738-1744.
- [48] Li R., Su S., Sun H., Liu R., Xia Y., “*Petrogenesis and Tectonic Significance of Early Permian Intermediate-Felsic Rocks in the Southern Beishan Orogen, Northwest China: Geochronological and Geochemical Constraints*”, Minerals, 14(1) (2024) 114.

- stratigraphy, petrography, geochemistry and their geodynamic implications”, Geologie Alpine, 61 (1985) 1-16.*
- [67] Darvishzadeh A., “*Geology of Iran (In Persian), Danesh Amruz Publishing House*”, University of Tehran (1991) 901.
- [68] Middlemost E. A., “*Magmas and magmatic rocks: an introduction to igneous petrology*” (1986).
- [69] Al-Hamed S., Aswad K., Aziz N., “*Geochemistry and Petrogenesis of Dioritic-Gabbroic Pegmatites in the Bulfat Complex, Qala Diza, Northeastern Iraq*”, Iraqi National Journal of Earth Science (INJES), 20(2) (2020) 64-90.
- [70] Sun C. M., Bertrand J., Bertrand J., “*Geochemistry of clinopyroxenes in plutonic and volcanic sequences from the Yanbian Proterozoic ophiolites (Sichuan Province, China): petrogenetic and geotectonic implications*”, Staübli (1991).
- [71] Berger J., Femenias O., Mercier J. C. C., Demaiffe D., “*Ocean-floor hydrothermal metamorphism in the Limousin ophiolites (western French Massif Central): evidence of a rare preserved Variscan oceanic marker*”, Journal of Metamorphic Geology, 23(9) (2005) 795-812.
- [72] Le Bas M. J., “*The role of aluminum in igneous clinopyroxenes with relation to their parentage*”, American Journal of Science, 260(4) (1962) 267-288.
- [73] Borghini G., Fumagalli P., Rampone E., “*Melt–rock interactions in a veined mantle: pyroxenite–peridotite reaction experiments at 2 GPa*”, European Journal of Mineralogy, 34(1) (2022) 109-129.
- for slowly cooled rocks”, Contributions to Mineralogy and Petrology, 114, (1993) 510-518.
- [59] Anderson J. L., “*Status of thermobarometry in granitic batholiths*”, Earth and Environmental Science Transactions of the Royal Society of Edinburgh, 87(1-2), (1996) 125-138.
- [60] Soesoo A., “*A multivariate statistical analysis of clinopyroxene composition: Empirical coordinates for the crystallisation PT-estimations*”, GFF, 119(1), (1997) 55-60.
- [61] France L., Ildefonse B., Koepke J., Bech F., “*A new method to estimate the oxidation state of basaltic series from microprobe analyses*”, Journal of Volcanology and Geothermal Research, 189(3-4), (2010) 340-346.
- [62] Schweitzer E. L., Papike J. J., Bence A. E., “*Statistical analysis of clinopyroxenes from deep-sea basalts*”, American Mineralogist, 64(5-6), (1979) 501-513.
- [63] Leterrier J., Maury R. C., Thonon P., Girard D., Marchal M., “*Clinopyroxene composition as a method of identification of the magmatic affinities of paleo-volcanic series*”, Earth and Planetary Science Letters, 59(1), (1982) 139-154.
- [64] Helz R. T., “*Phase relations of basalts in their melting range at PH2O= 5 kb as a function of oxygen fugacity: part I. Mafic phases*”, Journal of Petrology, 14(2), (1973) 249-302.
- [65] Li P., Xia Q. K., Dallai L., Bonatti E., Brunelli D., Cipriani A., Ligi M., “*High H2O content in pyroxenes of residual mantle peridotites at a Mid Atlantic Ridge segment*”, Scientific Reports, 10(1), (2020) 579.
- [66] Amidi S. M., Michel R., “*Cenozoic magmatism of the Surk area (central Iran)*